

The background features a network graph with several red circular nodes connected by black lines. A thick, wavy red line runs across the middle of the slide, partially obscuring the graph and the title.

# Dynamiczny PageRank

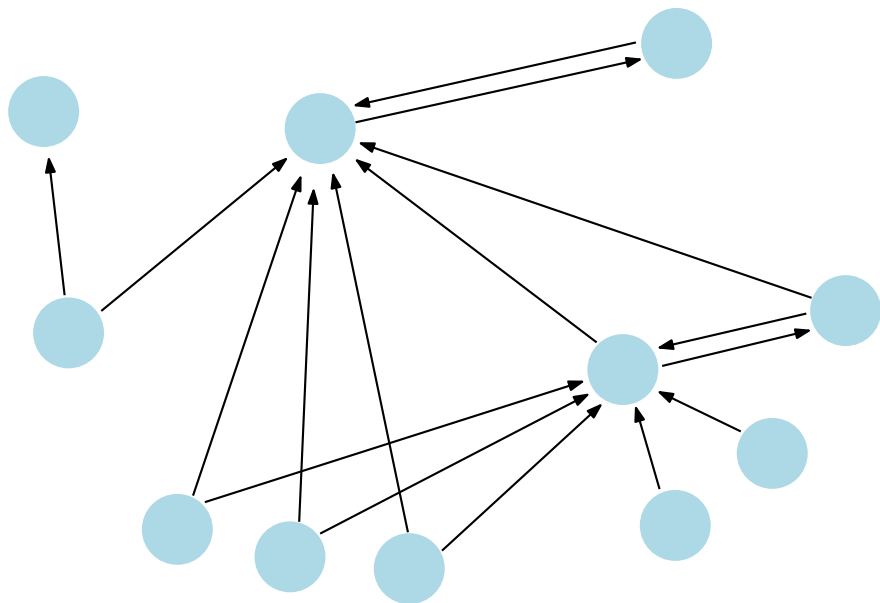
Dynamic PageRank: Algorithms  
and Lower Bounds 2024

- Rajesh Jayaram
- Jakub Łącki
- Slobodan Mitrović
- Krzysztof Onak
- Piotr Sankowski

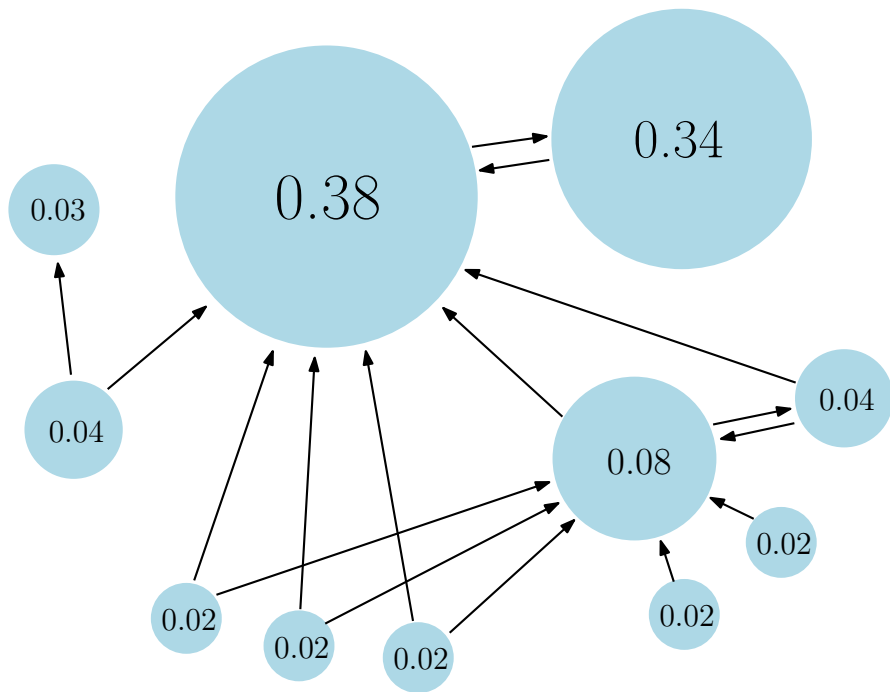
Zuzanna Szewczyk  
Piotr Kubicki

# PageRank

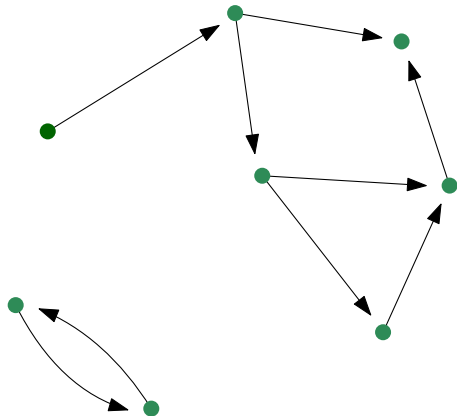
Cel: stworzyć ranking oceniający wierzchołki grafu  
(strony internetowe)



# PageRank

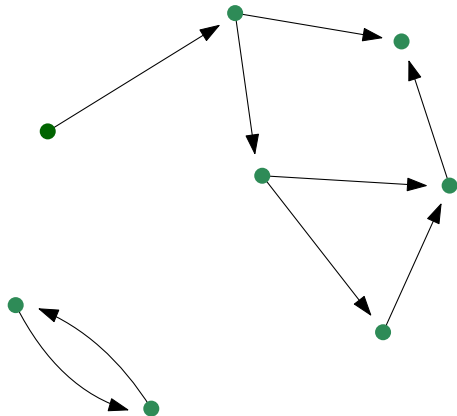


# Rozkład stacjonarny

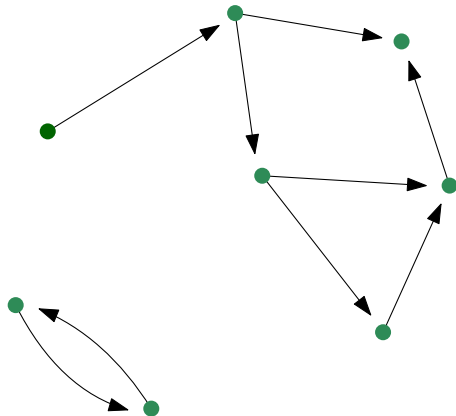


# Rozkład stacjonarny

Proces stochastyczny ma rozkład stacjonarny jeżeli łańcuch markowa jest ergodyczny:



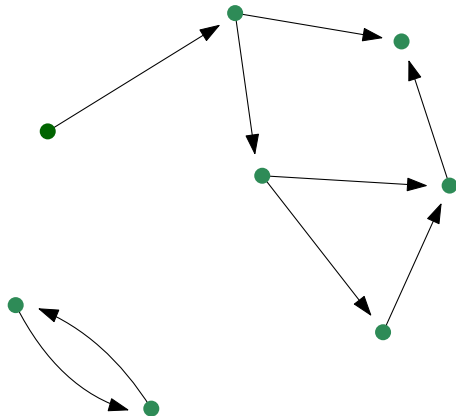
# Rozkład stacjonarny



Proces stochastyczny ma rozkład stacjonarny jeżeli łańcuch markowa jest ergodyczny:

- nieredukowalny  
jedna spójna składowa

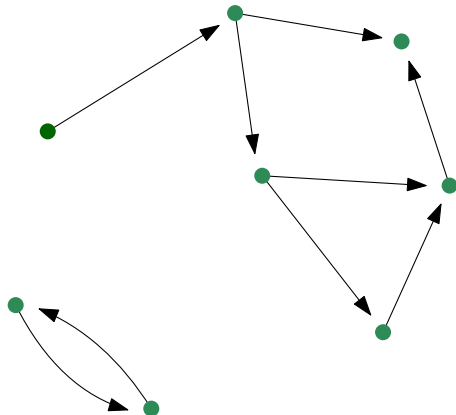
# Rozkład stacjonarny



Proces stochastyczny ma rozkład stacjonarny jeżeli łańcuch markowa jest ergodyczny:

- nieredukowalny  
jedna spójna składowa
- pozytywnie rekurencyjny  
Wszystkie stany pozytywnie rekurencyjne

# Rozkład stacjonarny

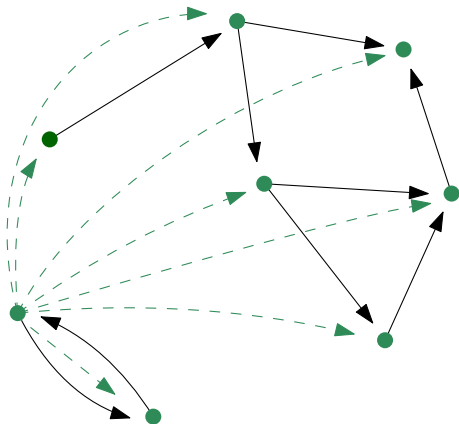


Proces stochastyczny ma rozkład stacjonarny jeżeli łańcuch markowa jest ergodyczny:

- nieredukowalny  
jedna spójna składowa
- pozytywnie rekurencyjny  
Wszystkie stany pozytywnie rekurencyjne
- aperiodyczny  
brak okresowości



# Rozkład stacjonarny



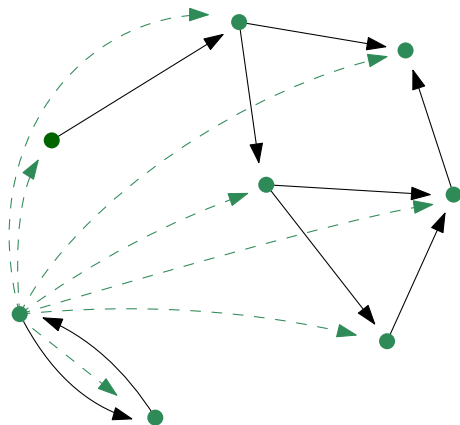
$\epsilon$  prawdopodobieństwo losowego skoku

$1 - \epsilon$  prawdopodobieństwo przejścia krawędzią grafu (damping factor)

Proces stochastyczny ma rozkład stacjonarny jeżeli łańcuch markowa jest ergodyczny:

- nieredukowalny  
jedna spójna składowa
- pozytywnie rekurencyjny  
Wszystkie stany pozytywnie rekurencyjne
- aperiodyczny  
brak okresowości

# Rozkład stacjonarny



$\epsilon$  prawdopodobieństwo losowego skoku

$1 - \epsilon$  —  $\epsilon$  prawdopodobieństwo przejścia krawędzią grafu (damping factor)

Proces stochastyczny ma rozkład stacjonarny jeżeli łańcuch markowa jest ergodyczny:

- ✓ • nieredukowalny  
jedna spójna składowa
- ✓ • pozytywnie rekurencyjny  
Wszystkie stany pozytywnie rekurencyjne
- ✓ • aperiodyczny  
brak okresowości

# Definicja wektora PageRank

Dla grafu  $G = (V, E)$  wektor PageRank  $\pi \in \mathbb{R}^n$  to rozkład stacjonarny spaceru losowego, który w każdym kroku z prawdopodobieństwem  $\epsilon$  skacze do dowolnego wierzchołka.

# Definicja wektora PageRank

Dla grafu  $G = (V, E)$  wektor PageRank  $\pi \in \mathbb{R}^n$  to rozkład stacjonarny spaceru losowego, który w każdym kroku z prawdopodobieństwem  $\epsilon$  skacze do dowolnego wierzchołka.

Macierz przejścia  $M$  ma więc postać:

$$M_{i,j} = \begin{cases} \frac{\epsilon}{n} + (1 - \epsilon) \frac{1}{\deg(i)}, & \text{if } (i, j) \in E \\ \frac{\epsilon}{n}, & \text{else} \end{cases}$$

# Definicja wektora PageRank

Dla grafu  $G = (V, E)$  wektor PageRank  $\pi \in \mathbb{R}^n$  to rozkład stacjonarny spaceru losowego, który w każdym kroku z prawdopodobieństwem  $\epsilon$  skacze do dowolnego wierzchołka.

Macierz przejścia  $M$  ma więc postać:

$$M_{i,j} = \begin{cases} \frac{\epsilon}{n} + (1 - \epsilon) \frac{1}{\deg(i)}, & \text{if } (i, j) \in E \\ \frac{\epsilon}{n}, & \text{else} \end{cases}$$

Obliczanie przybliżonej wartości  $\pi$

# Definicja wektora PageRank

Dla grafu  $G = (V, E)$  wektor PageRank  $\pi \in \mathbb{R}^n$  to rozkład stacjonarny spaceru losowego, który w każdym kroku z prawdopodobieństwem  $\epsilon$  skacze do dowolnego wierzchołka.

Macierz przejścia  $M$  ma więc postać:

$$M_{i,j} = \begin{cases} \frac{\epsilon}{n} + (1 - \epsilon) \frac{1}{\deg(i)}, & \text{if } (i, j) \in E \\ \frac{\epsilon}{n}, & \text{else} \end{cases}$$

## Obliczanie przybliżonej wartości $\pi$

- Metoda potęgowa

# Definicja wektora PageRank

Dla grafu  $G = (V, E)$  wektor PageRank  $\pi \in \mathbb{R}^n$  to rozkład stacjonarny spaceru losowego, który w każdym kroku z prawdopodobieństwem  $\epsilon$  skacze do dowolnego wierzchołka.

Macierz przejścia  $M$  ma więc postać:

$$M_{i,j} = \begin{cases} \frac{\epsilon}{n} + (1 - \epsilon) \frac{1}{\deg(i)}, & \text{if } (i, j) \in E \\ \frac{\epsilon}{n}, & \text{else} \end{cases}$$

## Obliczanie przybliżonej wartości $\pi$

- Metoda potęgowa
- Sampłowanie losowych spacerów

# Rodzaje aproksymacji



# Rodzaje aproksymacji

Aproksymacja addytywna  $\alpha$

$$\|\tilde{\pi} - \pi\|_1 \leq \alpha$$

# Rodzaje aproksymacji

Aproksymacja addytywna  $\alpha$

$$\|\tilde{\pi} - \pi\|_1 \leq \alpha$$

Aproksymacja multiplikatywna  $1 + \alpha$

$$\tilde{\pi}_v \in [(1 - \alpha)\pi_v, (1 + \alpha)\pi_v]$$

dla każdego wierzchołka  $v$

# Rodzaje aproksymacji

Aproksymacja addytywna  $\alpha$

$$\|\tilde{\pi} - \pi\|_1 \leq \alpha$$

Aproksymacja multiplikatywna  $1 + \alpha$

$$\tilde{\pi}_v \in [(1 - \alpha)\pi_v, (1 + \alpha)\pi_v]$$

dla każdego wierzchołka  $v$

$$(1 - \alpha)\pi_v \leq \tilde{\pi}_v \leq (1 + \alpha)\pi_v$$

$$-\alpha\pi_v \leq \tilde{\pi}_v - \pi_v \leq \alpha\pi_v$$

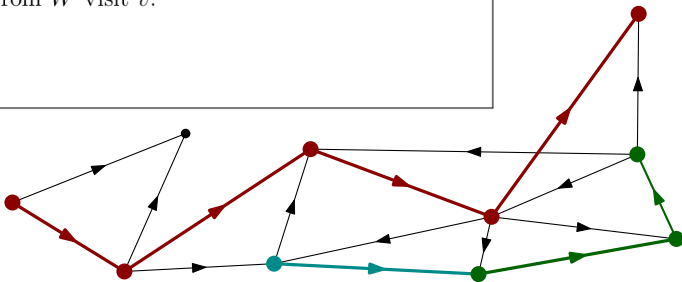
$$|\tilde{\pi}_v - \pi_v| \leq \alpha\pi_v$$

$$\sum_{v \in V} |\tilde{\pi}_v - \pi_v| \leq \alpha \sum_{v \in V} \pi_v = \alpha$$

# Przybliżanie $\pi$ za pomocą losowych spacerów

## Algorytm 1

- 1: Sample a set  $W$  of  $R = \lceil \frac{9 \ln n}{\epsilon \alpha^2} \rceil$  random walks starting from each vertex of  $G$ .  
Each walk length is chosen from geometric distribution with parameter  $1 - \epsilon$ .
- 2: Remove from  $W$  all walks longer than  $\ell$ .
- 3: **for**  $v \in V$  **do**
- 4:    $\mathbf{X}_v \leftarrow$  the number of times the walks from  $W$  visit  $v$ .
- 5:    $\tilde{\pi}(v) \leftarrow \frac{\mathbf{X}_v}{|W|/\epsilon}$ .
- 6: **end for**
- 7: Return  $\tilde{\pi}$



**Proposition 1** ([BCG10, LMOS20]). Let  $\pi$  be the PageRank vector of a graph  $G$ . The estimate  $\tilde{\pi}$  computed by [Algorithm 1](#) (with  $\ell = \infty$ ) satisfies (a) for all  $v \in V$  we have  $\mathbb{E}[\tilde{\pi}_v] = \pi_v$ , and (b) with probability  $1 - 1/\text{poly}(n)$ , simultaneously for all  $v \in V$ , we have  $\tilde{\pi}_v = (1 \pm \alpha)\pi_v$ .

# Dynamiczny PageRank

# Dynamiczny PageRank

Dany jest graf  $G$  wraz ze wszystkimi jego wierzchołkami, a jego krawędzie są wstawiane i usuwane. Celem jest utrzymanie przybliżonego wektora PageRank  $\tilde{\pi}$ .

Rozważamy głównie  
grafy skierowane

# Dynamiczny PageRank

Dany jest graf  $G$  wraz ze wszystkimi jego wierzchołkami, a jego krawędzie są wstawiane i usuwane. Celem jest utrzymanie przybliżonego wektora PageRank  $\tilde{\pi}$ .

Rozważamy głównie  
grafy skierowane

W pracy rozważane jest jedynie jawne utrzymywanie wartości  $\tilde{\pi}$  po każdej operacji wstawienia/usunięcia krawędzi

# Dynamiczny PageRank

Dany jest graf  $G$  wraz ze wszystkimi jego wierzchołkami, a jego krawędzie są wstawiane i usuwane. Celem jest utrzymanie przybliżonego wektora PageRank  $\tilde{\pi}$ .

Rozważamy głównie  
grafy skierowane

W pracy rozważane jest jedynie jawne utrzymywanie wartości  $\tilde{\pi}$  po każdej operacji wstawienia/usunięcia krawędzi

Rozróżniamy też trzy ustawienia ciągu operacji:

- inkrementacyjne (ciąg wstawień)
- dekrementacyjne (ciąg usunięć)
- w pełni dynamiczne



# Dynamiczny PageRank

Dany jest graf  $G$  wraz ze wszystkimi jego wierzchołkami, a jego krawędzie są wstawiane i usuwane. Celem jest utrzymanie przybliżonego wektora PageRank  $\tilde{\pi}$ .

Rozważamy głównie  
grafy skierowane

W pracy rozważane jest jedynie jawne utrzymywanie wartości  $\tilde{\pi}$  po każdej operacji wstawienia/usunięcia krawędzi

Rozróżniamy też trzy ustawienia ciągu operacji:

- inkrementacyjne (ciąg wstawień)
- dekrementacyjne (ciąg usunięć)
- w pełni dynamiczne

Stosowane podejścia:

- obliczanie PageRank za każdym razem od nowa
- utrzymywanie zbioru losowych spacerów i aktualizowanie go!

dynamiczna wersja Algorytmu 1  
[Bahmani 2010]

Co chcemy wiedzieć o dynamicznym PageRank

# Co chcemy wiedzieć o dynamicznym PageRank

Jesteśmy w stanie utrzymywać  $\alpha + 1$  multiplikatywną aproksymację dla ciągu losowych wstawień (bądź ciągu losowych usunięć) w czasie *poly log*( $n$ ).

[Bahmani 2010]

# Co chcemy wiedzieć o dynamicznym PageRank

Jesteśmy w stanie utrzymywać  $\alpha + 1$  multiplikatywną aproksymację dla ciągu losowych wstawień (bądź ciągu losowych usunięć) w czasie *poly log*( $n$ ).

[Bahmani 2010]

Czy zachodzi też w ogólnym przypadku?

# Co chcemy wiedzieć o dynamicznym PageRank

Jesteśmy w stanie utrzymywać  $\alpha + 1$  multiplikatywną aproksymację dla ciągu losowych wstawień (bądź ciągu losowych usunięć) w czasie *poly*  $\log(n)$ .

[Bahmani 2010]

Czy zachodzi też w ogólnym przypadku?

Jakie jest dolne ograniczenie na czas działania algorytmu utrzymującego  $\alpha$  addytywną aproksymację dla ciągu wstawień krawędzi?

# Co chcemy wiedzieć o dynamicznym PageRank

Jesteśmy w stanie utrzymywać  $\alpha + 1$  multiplikatywną aproksymację dla ciągu losowych wstawień (bądź ciągu losowych usunięć) w czasie *poly*  $\log(n)$ .

[Bahmani 2010]

Czy zachodzi też w ogólnym przypadku?

Jakie jest dolne ograniczenie na czas działania algorytmu utrzymującego  $\alpha$  addytywną aproksymację dla ciągu wstawień krawędzi?

A jakie gdy utrzymujemy  $\alpha + 1$  multiplikatywną aproksymacją

# Wkład pracy

# Wkład pracy

Ograniczenie dolne

dla utrzymywania  $\alpha$  addytywnej aproksymacji

Zakładając, że  $(1/\alpha) = n^{o(1/\log \log n)}$

Koszt ciągu operacji:  $n \cdot (\frac{1}{\alpha})^{\Omega(\log \log n)}$



# Wkład pracy

Ograniczenie dolne

dla utrzymywania  $\alpha$  addytywnej aproksymacji

Zakładając, że  $(1/\alpha) = n^{o(1/\log \log n)}$

Koszt ciągu operacji:  $n \cdot (\frac{1}{\alpha})^{\Omega(\log \log n)}$

Ograniczenie dolne

dla utrzymywania  $\alpha + 1$  multiplikatywnej aproksymacji

Amortyzowany czas operacji jest rzędu  $\Omega(n^{1-\delta}), \delta > 0$

# Wkład pracy

Ograniczenie dolne

dla utrzymywania  $\alpha$  addytywnej aproksymacji

Zakładając, że  $(1/\alpha) = n^{o(1/\log \log n)}$

Koszt ciągu operacji:  $n \cdot (\frac{1}{\alpha})^{\Omega(\log \log n)}$

Ograniczenie dolne

dla utrzymywania  $\alpha + 1$  multiplikatywnej aproksymacji

Amortyzowany czas operacji jest rzędu  $\Omega(n^{1-\delta}), \delta > 0$

Modyfikacja algorytmu utrzymującego losowe spacery

Analiza poprawności i złożoności dla  $\alpha$  addytywnej aproksymacji w ciągu wstawień bądź ciągu usunąć

Czas działania dla ciągu operacji:

$O(m) + n \cdot (\frac{1}{\alpha})^{O_\epsilon(\log \log n)}$

# Wkład pracy

Ograniczenie dolne

dla utrzymywania  $\alpha$  addytywnej aproksymacji

Zakładając, że  $(1/\alpha) = n^{o(1/\log \log n)}$

Koszt ciągu operacji:  $n \cdot (\frac{1}{\alpha})^{\Omega(\log \log n)}$

Modyfikacja algorytmu utrzymującego losowe spacery

Analiza poprawności i złożoności dla  $\alpha$  addytywnej aproksymacji w ciągu wstawień bądź ciągu usunąć

Czas działania dla ciągu operacji:  
 $O(m) + n \cdot (\frac{1}{\alpha})^{O_\epsilon(\log \log n)}$

Ograniczenie dolne

dla utrzymywania  $\alpha + 1$  multiplikatywnej aproksymacji

Amortyzowany czas operacji jest rzędu  
 $\Omega(n^{1-\delta}), \delta > 0$

Analiza działania algorytmu dla grafów nieskierowanych w pełni dynamicznym ustawieniu

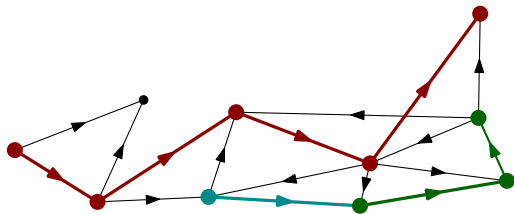
Utrzymanie  $\alpha + 1$  multiplikatywnej aproksymacji w czasie  $O(\log^5 n / (\epsilon^2 \alpha^2))$  dla jednej operacji

# Masa prawdopodobieństwa

# Masa prawdopodobieństwa

Będziemy interpretowali PageRank w myśl propozycji 1:

$\tilde{\pi}$  computed by *Algorithm 1* (with  $\ell = \infty$ ) satisfies (a) for all  $v \in V$  we have  $\mathbb{E}[\tilde{\pi}_v] = \pi_v$

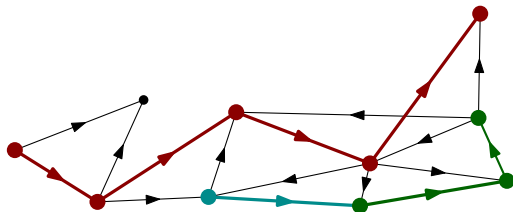


# Masa prawdopodobieństwa

Będziemy interpretowali PageRank w myśl propozycji 1:

Każdy wierzchołek ma pewną masę probabilistyczną, która generuje, bądź otrzymuje od innych wierzchołków.

$\tilde{\pi}$  computed by *Algorithm 1* (with  $\ell = \infty$ ) satisfies (a) for all  $v \in V$  we have  $\mathbb{E}[\tilde{\pi}_v] = \pi_v$



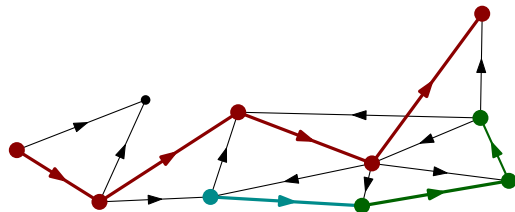
# Masa prawdopodobieństwa

Będziemy interpretowali PageRank w myśl propozycji 1:

Każdy wierzchołek ma pewną masę probabilistyczną, która generuje, bądź otrzymuje od innych wierzchołków.

Każdy wierzchołek generuje  $1/n$  masy

$\tilde{\pi}$  computed by *Algorithm 1* (with  $\ell = \infty$ ) satisfies (a) for all  $v \in V$  we have  $\mathbb{E}[\tilde{\pi}_v] = \pi_v$



# Masa prawdopodobieństwa

Będziemy interpretowali PageRank w myśl propozycji 1:

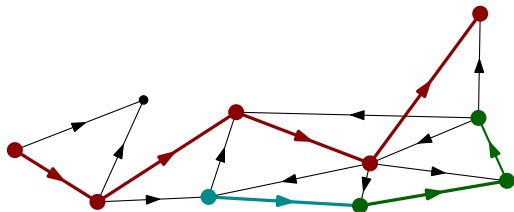
Każdy wierzchołek ma pewną masę probabilistyczną, która generuje, bądź otrzymuje od innych wierzchołków.

Każdy wierzchołek generuje  $1/n$  masy

$(1 - \epsilon)$  części masy każdego wierzchołka jest rozdzielona równomiernie między jego sąsiadów.

PageRank wierzchołka do  $\epsilon$ 'owa część jego masy prawdopodobieństwa.

$\tilde{\pi}$  computed by *Algorithm 1* (with  $\ell = \infty$ ) satisfies (a) for all  $v \in V$  we have  $\mathbb{E}[\tilde{\pi}_v] = \pi_v$





# Masa prawdopodobieństwa

Będziemy interpretowali PageRank w myśl propozycji 1:

Każdy wierzchołek ma pewną masę probabilistyczną, która generuje, bądź otrzymuje od innych wierzchołków.

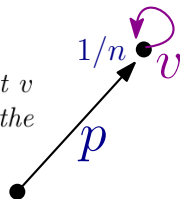
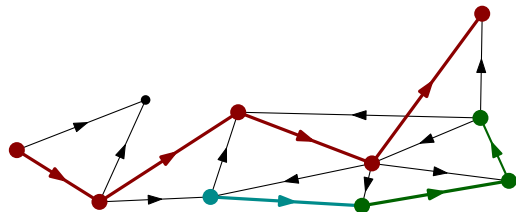
Każdy wierzchołek generuje  $1/n$  masy

$(1 - \epsilon)$  części masy każdego wierzchołka jest rozdzielona równomiernie między jego sąsiadów.

PageRank wierzchołka do  $\epsilon$ 'owa część jego masy prawdopodobieństwa.

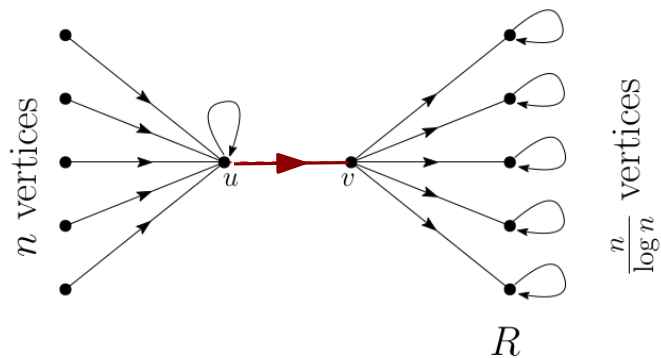
**Observation 3.1.** *Let  $v$  be a vertex, whose only outgoing edge is a self loop. Assume that  $v$  receives a probability mass of  $p$  along its incoming edges other than the self-loop. Then, the PageRank of  $v$  is  $p + 1/n$ .*

$\tilde{\pi}$  computed by *Algorithm 1* (with  $\ell = \infty$ ) satisfies (a) for all  $v \in V$  we have  $\mathbb{E}[\tilde{\pi}_v] = \pi_v$

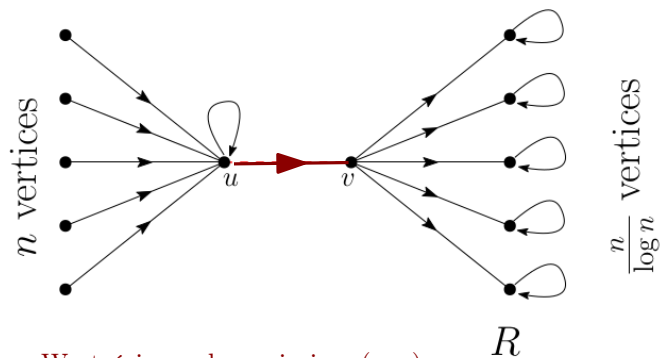


Trudny przypadek pojedynczego update'u

# Trudny przypadek pojedynczego update'u



# Trudny przypadek pojedynczego update'u

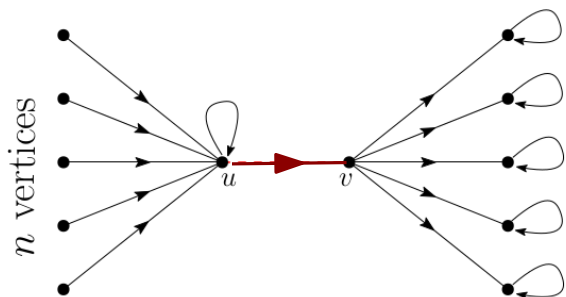


Wartości przed usunięciem  $(u, v)$

$$\pi_u, \pi_v \in \Omega(\epsilon)$$

$$\pi_x \in \Omega((\log n)/n) \quad x \in R$$

# Trudny przypadek pojedynczego update'u

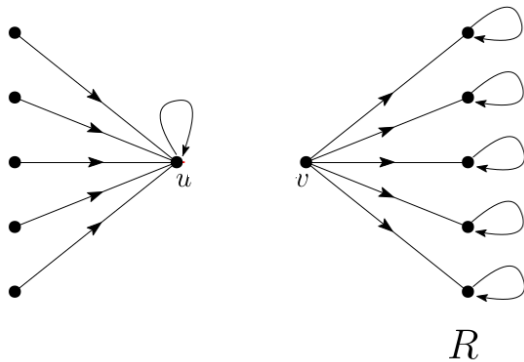


Wartości przed usunięciem  $(u, v)$

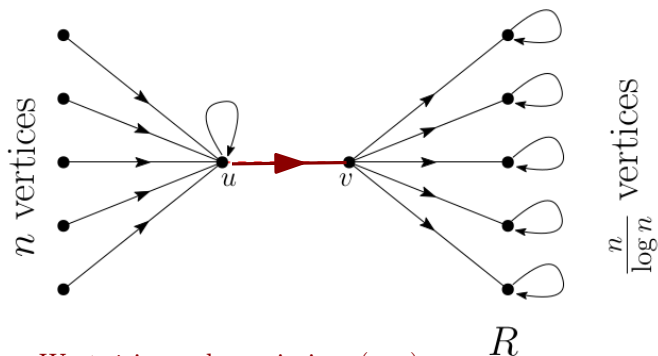
$$\pi_u, \pi_v \in \Omega(\epsilon)$$

$$\pi_x \in \Omega((\log n)/n) \quad x \in R$$

$\frac{n}{\log n}$  vertices



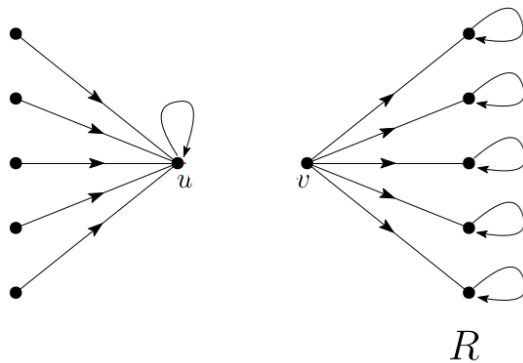
# Trudny przypadek pojedynczego update'u



Wartości przed usunięciem  $(u, v)$

$$\pi_u, \pi_v \in \Omega(\epsilon)$$

$$\pi_x \in \Omega((\log n)/n) \quad x \in R$$



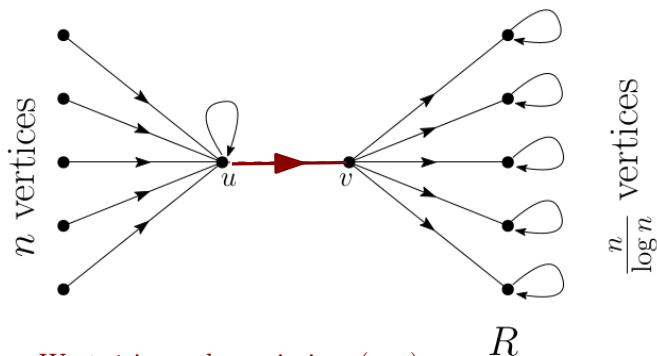
Wartości po usunięciu  $(u, v)$

$$\pi'_u \in \Omega(1)$$

$$\pi'_v \in O(\epsilon/n)$$

$$\pi'_x \in O(1/n) \quad x \in R$$

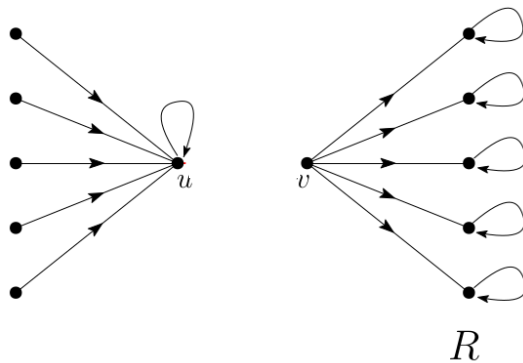
# Trudny przypadek pojedynczego update'u



Wartości przed usunięciem  $(u, v)$

$$\pi_u, \pi_v \in \Omega(\epsilon)$$

$$\pi_x \in \Omega((\log n)/n) \quad x \in R$$



Wartości po usunięciu  $(u, v)$

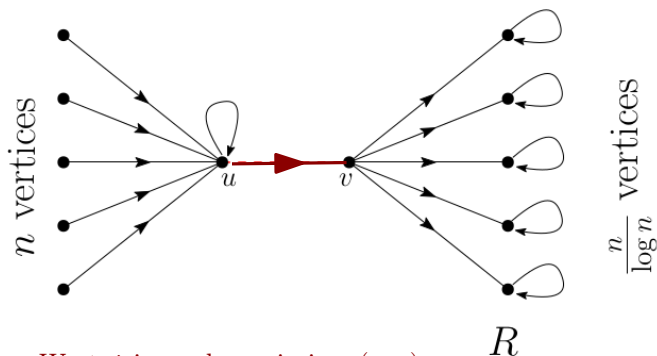
$$\pi'_u \in \Omega(1)$$

$$\pi'_v \in O(\epsilon/n)$$

$$\pi'_x \in O(1/n) \quad x \in R$$

Dla  $\Omega(\frac{n}{\log n})$  wierzchołków wartości różnią się  $\Omega(\log n)$  krotnie po jednej operacji usunięcia.

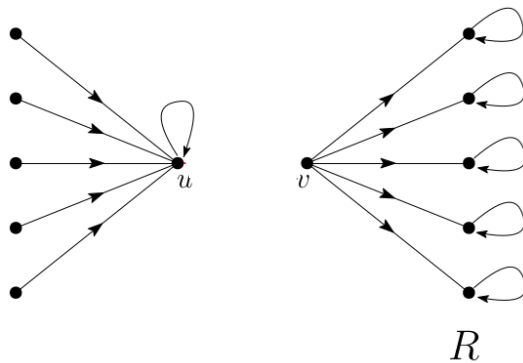
# Trudny przypadek pojedynczego update'u



Wartości przed usunięciem  $(u, v)$

$$\pi_u, \pi_v \in \Omega(\epsilon)$$

$$\pi_x \in \Omega((\log n)/n) \quad x \in R$$



Wartości po usunięciu  $(u, v)$

$$\pi'_u \in \Omega(1)$$

$$\pi'_v \in O(\epsilon/n)$$

$$\pi'_x \in O(1/n) \quad x \in R$$

Dla  $\Omega(\frac{n}{\log n})$  wierzchołków wartości różnią się  $\Omega(\log n)$  krotnie po jednej operacji usunięcia.

Co ze złożonością amortyzowaną?



# Twierdzenie 1

# Twierdzenie 1

**Theorem 1.1.** *Fix  $\epsilon \in (0.01, 0.99)$ . For any sufficiently large  $n \geq 1$  and any  $\alpha$  such that  $1/\alpha = n^{o(1/\log \log n)}$ , any algorithm which explicitly maintains  $\alpha$ -additive approximation of PageRank must run in  $n \cdot (1/\alpha)^{\Omega(\log \log n)}$  total time.*

# Twierdzenie 1

**Theorem 1.1.** *Fix  $\epsilon \in (0.01, 0.99)$ . For any sufficiently large  $n \geq 1$  and any  $\alpha$  such that  $1/\alpha = n^{o(1/\log \log n)}$ , any algorithm which explicitly maintains  $\alpha$ -additive approximation of PageRank must run in  $n \cdot (1/\alpha)^{\Omega(\log \log n)}$  total time.*

## Zarys dowodu:

Pokażemy konstrukcję grafu, do którego będziemy wstawiać krawędzie.

Wiele wstawień będzie wymagało aktualizacji liniowej liczby wartości  $\tilde{\pi}$ .

Po drodze potrzebne będą dwa lematy.

# Konstrukcja (multi)grafu

# Konstrukcja (multi)grafu

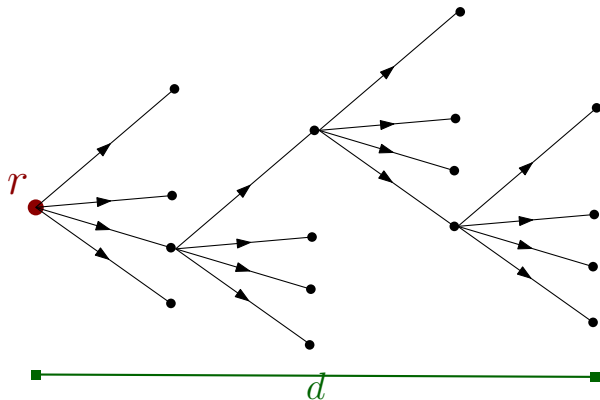
Graf  $G$  będzie składał się z 4 części:  $R, H, S_0, S_1$

# Konstrukcja (multi)grafu

Graf  $G$  będzie składał się z 4 części:  $R, H, S_0, S_1$

Podgraf  $H$  będzie drzewem o korzeniu  $r$  i głębokości  $d$ .

Każdy wierzchołek wewnętrzny będzie miał  $t$  dzieci numerowanych od 0 do  $t - 1$



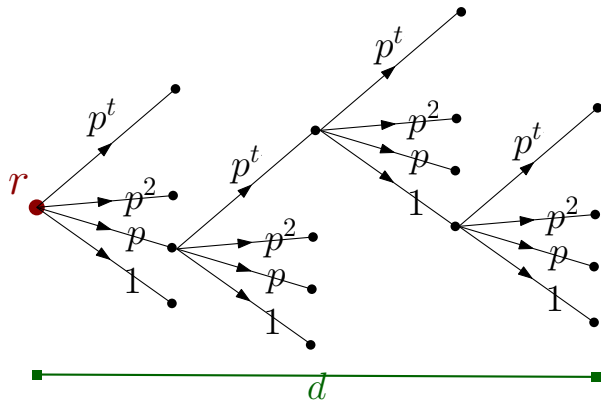
# Konstrukcja (multi)grafu

Graf  $G$  będzie składał się z 4 części:  $R, H, S_0, S_1$

Podgraf  $H$  będzie drzewem o korzeniu  $r$  i głębokości  $d$ .

Każdy wierzchołek wewnętrzny będzie miał  $t$  dzieci numerowanych od 0 do  $t-1$

Do dziecka  $i$ -tego będzie prowadziło  $p^i$  równoległych krawędzi, dla  $p = (1/\epsilon) \geq 2$ .



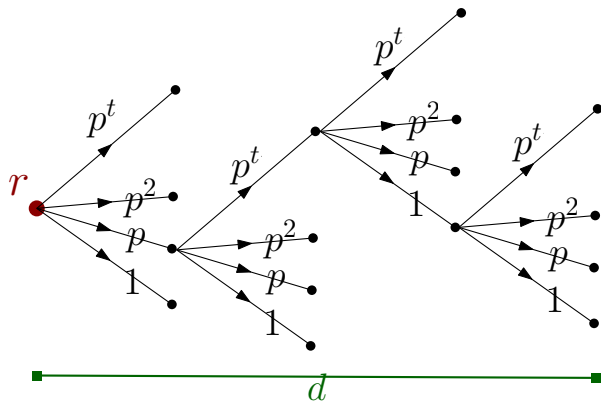
# Konstrukcja (multi)grafu

Graf  $G$  będzie składał się z 4 części:  $R, H, S_0, S_1$

Podgraf  $H$  będzie drzewem o korzeniu  $r$  i głębokości  $d$ .

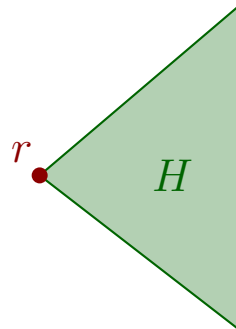
Każdy wierzchołek wewnętrzny będzie miał  $t$  dzieci numerowanych od 0 do  $t-1$

Do dziecka  $i$ -tego będzie prowadziło  $p^i$  równoległych krawędzi, dla  $p = (1/\epsilon) \geq 2$ .



Z każdego wierzchołka wewnętrznego  $H$  wychodzi  $O(p^t)$  krawędzi.

W  $H$  jest  $\Theta(t^d)$  wierzchołków oraz  $\Theta(t^d \cdot p^t)$  krawędzi.



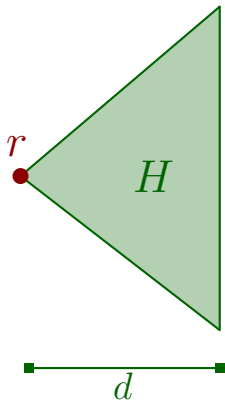


# Konstrukcja (multi)grafu

Graf  $G$  będzie składał się z 4 części:  $R, H, S_0, S_1$

Z każdego wierzchołka wewnętrznego  $H$  wychodzi  $O(p^t)$  krawędzi.

W  $H$  jest  $\Theta(t^d)$  wierzchołków oraz  $\Theta(t^d \cdot p^t)$  krawędzi.



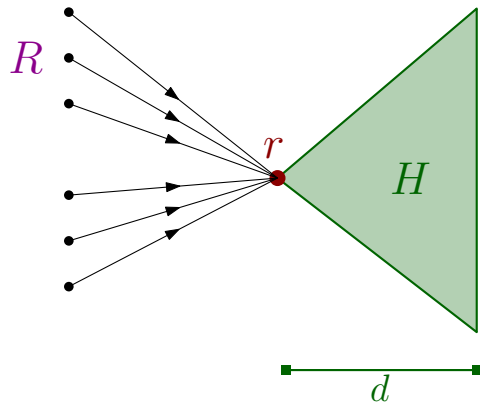
# Konstrukcja (multi)grafu

Graf  $G$  będzie składał się z 4 części:  $R, H, S_0, S_1$

Podgraf  $R$  to  $n/4$  wierzchołków. Z każdego z nich wychodzi jedna krawędź do  $r$ .

Z każdego wierzchołka wewnętrznego  $H$  wychodzi  $O(p^t)$  krawędzi.

W  $H$  jest  $\Theta(t^d)$  wierzchołków oraz  $\Theta(t^d \cdot p^t)$  krawędzi.



# Konstrukcja (multi)grafu

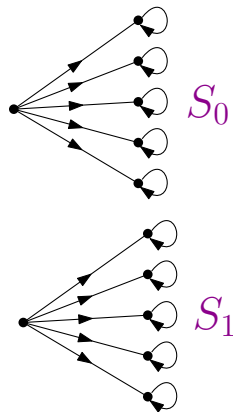
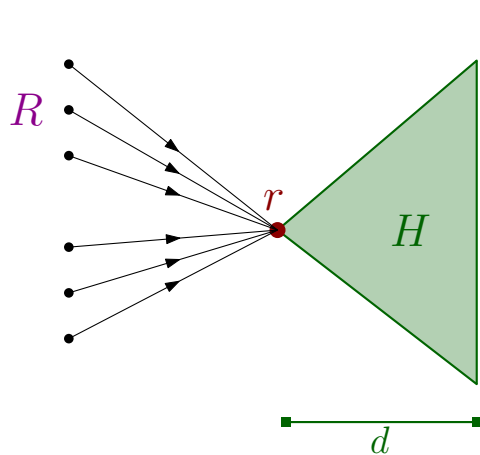
Graf  $G$  będzie składał się z 4 części:  $R, H, S_0, S_1$

Podgraf  $R$  to  $n/4$  wierzchołków. Z każdego z nich wychodzi jedna krawędź do  $r$ .

$S_0$  i  $S_1$  to gwiazdy o  $n/4$  wierzchołkach, których centra to  $c_0$  i  $c_1$ , a liście mają pętle do samych siebie.

Z każdego wierzchołka wewnętrznego  $H$  wychodzi  $O(p^t)$  krawędzi.

W  $H$  jest  $\Theta(t^d)$  wierzchołków oraz  $\Theta(t^d \cdot p^t)$  krawędzi.



# Konstrukcja (multi)grafu

Graf  $G$  będzie składał się z 4 części:  $R, H, S_0, S_1$

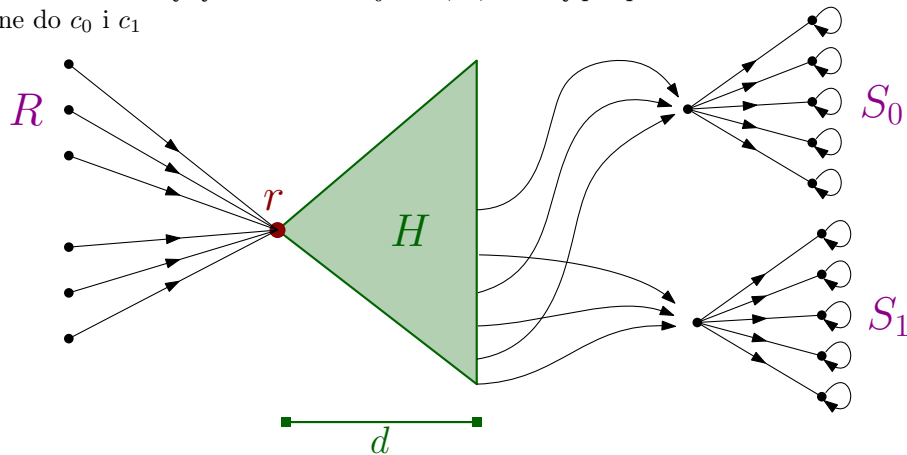
Podgraf  $R$  to  $n/4$  wierzchołków. Z każdego z nich wychodzi jedna krawędź do  $r$ .

$S_0$  i  $S_1$  to gwiazdy o  $n/4$  wierzchołkach, których centra to  $c_0$  i  $c_1$ , a liście mają pętle do samych siebie.

Liście drzewa  $H$  będą nazwane kolejno  $l_1, l_2, \dots$  i są podpinane na zmianę do  $c_0$  i  $c_1$

Z każdego wierzchołka wewnętrznego  $H$  wychodzi  $O(p^t)$  krawędzi.

W  $H$  jest  $\Theta(t^d)$  wierzchołków oraz  $\Theta(t^d \cdot p^t)$  krawędzi.



# Konstrukcja (multi)grafu

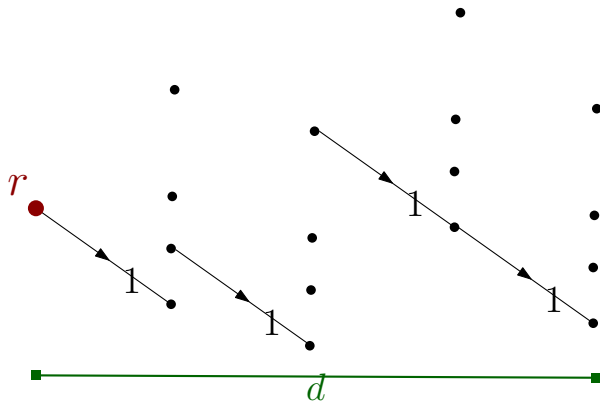
# Konstrukcja (multi)grafu

Ciąg wstawień będzie odbywał się na podgrafie  $H$ .

# Konstrukcja (multi)grafu

Ciąg wstawień będzie odbywał się na podgrafie  $H$ .

Początkowo tylko dzieci z indeksem 0 będą podpięte do rodzica.

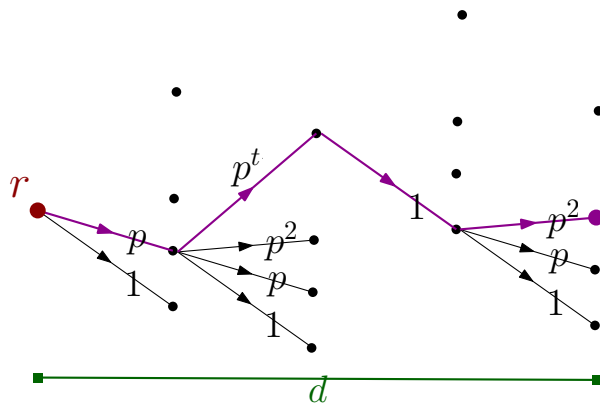
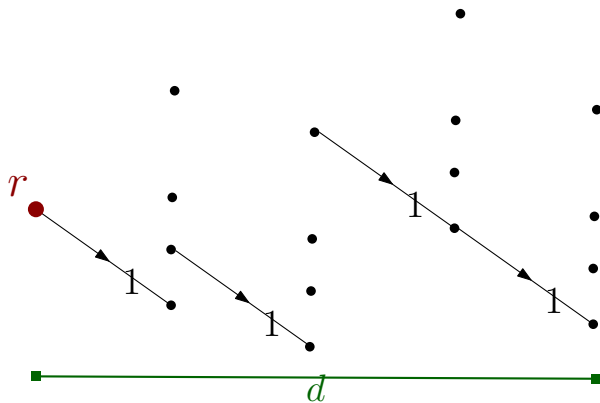


# Konstrukcja (multi)grafu

Ciąg wstawień będzie odbywał się na podgrafie  $H$ .

Początkowo tylko dzieci z indeksem 0 będą podpięte do rodzica.

Zgodnie z porządkiem pre-order będziemy chodzić po drzewie i podpinąć wszystkie krawędzie od rodzica do aktualnego wierzchołka





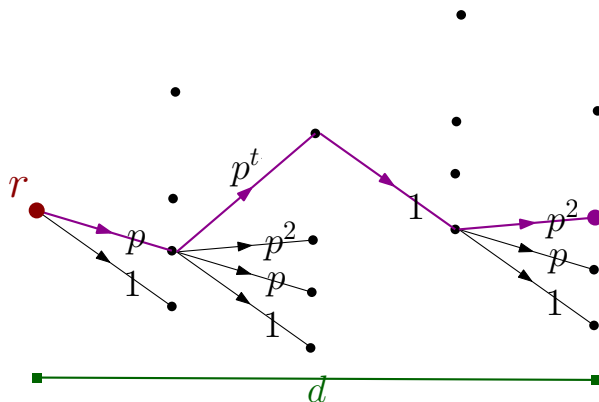
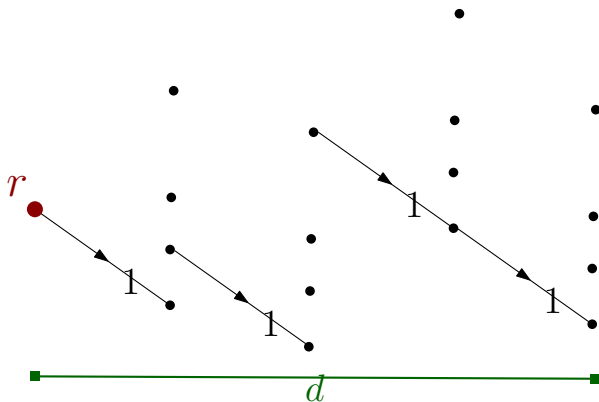
# Konstrukcja (multi)grafu

Ciąg wstawień będzie odbywał się na podgrafie  $H$ .

Początkowo tylko dzieci z indeksem 0 będą podpięte do rodzica.

Zgodnie z porządkiem pre-order będziemy chodzić po drzewie i podpinąć wszystkie krawędzie od rodzica do aktualnego wierzchołka

Za każdym razem gdy dojdziemy do liścia  $l_i$  połączymy go ze wszystkimi wierzchołkami z  $R$



# Plan i potrzebne lematy

# Plan i potrzebne lematy

Intuicja: Łącząc dany liść z grafem  $R$  prześlemy mu znaczną część masy prawdopodobieństwa (duża liczba krawędzi prowadzi do nowo połączonego liścia), co wpłynie na wartość w liściach jednej z gwiazd  $S$ .

# Plan i potrzebne lematy

Intuicja: Łącząc dany liść z grafem  $R$  prześlemy mu znaczną część masy prawdopodobieństwa (duża liczba krawędzi prowadzi do nowo połączonego liścia), co wpłynie na wartość w liściach jednej z gwiazd  $S$ .

**Lemat 1(3.2)** *Consider the graph  $G^\tau$  obtained right after inserting all edges on the path from  $R$  to  $\ell_i$ . Let  $m_i$  be the probability mass that reaches  $\ell_i$  from  $R$  in  $G^\tau$ . Then  $m_i \geq (1 - \epsilon)^{2d+2}/4$ .*

*Moreover, out of the probability mass that reaches the leaves of  $H$  from  $R$ , at least  $(1 - 1/p)^d$  fraction reaches  $\ell_i$ .*

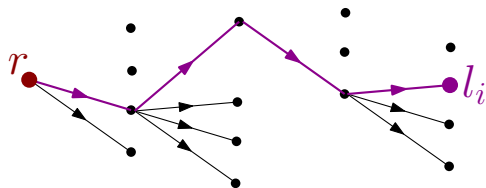
# Plan i potrzebne lematy

Intuicja: Łącząc dany liść z grafem  $R$  prześlemy mu znaczną część masy prawdopodobieństwa (duża liczba krawędzi prowadzi do nowo połączonego liścia), co wpłynie na wartość w liściach jednej z gwiazd  $S$ .

**Lemat 1(3.2)** *Consider the graph  $G^\tau$  obtained right after inserting all edges on the path from  $R$  to  $\ell_i$ . Let  $m_i$  be the probability mass that reaches  $\ell_i$  from  $R$  in  $G^\tau$ . Then  $m_i \geq (1 - \epsilon)^{2d+2}/4$ .*

*Moreover, out of the probability mass that reaches the leaves of  $H$  from  $R$ , at least  $(1 - 1/p)^d$  fraction reaches  $\ell_i$ .*

Docierając do wierzchołka  $\ell_i$  wszystkie krawędzie z lewej strony ścieżki są wstawione, a wszystkie z prawej puste.



# Plan i potrzebne lematy

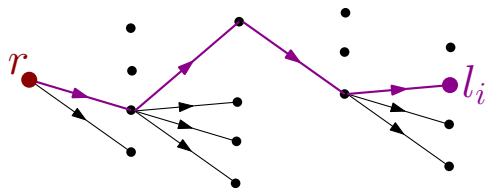
Intuicja: Łącząc dany liść z grafem  $R$  prześlemy mu znaczną część masy prawdopodobieństwa (duża liczba krawędzi prowadzi do nowo połączonego liścia), co wpłynie na wartość w liściach jednej z gwiazd  $S$ .

**Lemat 1(3.2)** *Consider the graph  $G^\tau$  obtained right after inserting all edges on the path from  $R$  to  $\ell_i$ . Let  $m_i$  be the probability mass that reaches  $\ell_i$  from  $R$  in  $G^\tau$ . Then  $m_i \geq (1 - \epsilon)^{2d+2}/4$ .*

*Moreover, out of the probability mass that reaches the leaves of  $H$  from  $R$ , at least  $(1 - 1/p)^d$  fraction reaches  $\ell_i$ .*

Docierając do wierzchołka  $\ell_i$  wszystkie krawędzie z lewej strony ścieżki są wstawione, a wszystkie z prawej puste.

Dla każdego wierzchołka na ścieżce do  $\ell_i$  możemy obliczyć jaką część krawędzi kieruje w stronę  $\ell_i$ :



# Plan i potrzebne lematy

Intuicja: Łącząc dany liść z grafem  $R$  prześlemy mu znaczną część masy prawdopodobieństwa (duża liczba krawędzi prowadzi do nowo połączonego liścia), co wpłynie na wartość w liściach jednej z gwiazd  $S$ .

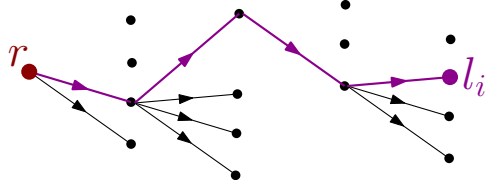
**Lemat 1(3.2)** Consider the graph  $G^\tau$  obtained right after inserting all edges on the path from  $R$  to  $\ell_i$ . Let  $m_i$  be the probability mass that reaches  $\ell_i$  from  $R$  in  $G^\tau$ . Then  $m_i \geq (1 - \epsilon)^{2d+2}/4$ .

Moreover, out of the probability mass that reaches the leaves of  $H$  from  $R$ , at least  $(1 - 1/p)^d$  fraction reaches  $\ell_i$ .

Docierając do wierzchołka  $\ell_i$  wszystkie krawędzie z lewej strony ścieżki są wstawione, a wszystkie z prawej puste.

Dla każdego wierzchołka na ścieżce do  $\ell_i$  możemy obliczyć jaką część krawędzi kieruje w stronę  $\ell_i$ :

$$p^{j-1} / \left( \sum_{k=0}^{j-1} p^k \right) = p^{j-1} \cdot \frac{p-1}{p^j-1} \geq p^{j-1} \cdot \frac{p-1}{p^j} = 1 - 1/p.$$



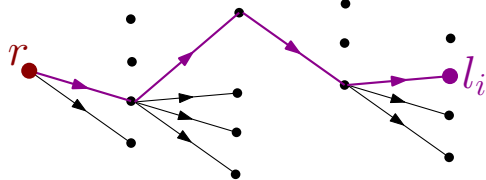
# Plan i potrzebne lematy

Intuicja: Łącząc dany liść z grafem  $R$  przekazemy mu znaczną część masy prawdopodobieństwa (duża liczba krawędzi prowadzi do nowo połączonego liścia), co wpłynie na wartość w liściach jednej z gwiazd  $S$ .

**Lemat 1(3.2)** Consider the graph  $G^\tau$  obtained right after inserting all edges on the path from  $R$  to  $\ell_i$ . Let  $m_i$  be the probability mass that reaches  $\ell_i$  from  $R$  in  $G^\tau$ . Then  $m_i \geq (1 - \epsilon)^{2d+2}/4$ .

Moreover, out of the probability mass that reaches the leaves of  $H$  from  $R$ , at least  $(1 - 1/p)^d$  fraction reaches  $\ell_i$ .

Docierając do wierzchołka  $\ell_i$  wszystkie krawędzie z lewej strony ścieżki są wstawione, a wszystkie z prawej puste.



Dla każdego wierzchołka na ścieżce do  $\ell_i$  możemy obliczyć jaką część krawędzi kieruje w stronę  $\ell_i$ :

$$p^{j-1} / \left( \sum_{k=0}^{j-1} p^k \right) = p^{j-1} \cdot \frac{p-1}{p^j-1} \geq p^{j-1} \cdot \frac{p-1}{p^j} = 1 - 1/p.$$

Ścieżka od  $R$  do  $\ell_i$  ma długość  $d+1$ . Na każdym jej kroku  $(1 - \epsilon)$  masy jest przekazywane dalej, z czego przynajmniej  $(1 - 1/p) = (1 - \epsilon)$  przekazywane jest w stronę  $\ell_i$ .  $R$  generuje masę  $1/4$  zatem teza zachodzi.

□



# Plan i potrzebne lematy

# Plan i potrzebne lematy

**Lemat 2(3.3)** Consider four vectors  $v^1, \tilde{v}^1, v^2, \tilde{v}^2 \in \mathbb{R}^n$ , such that  $\|v^1 - \tilde{v}^1\|_1 \leq \alpha$ ,  $\|v^2 - \tilde{v}^2\|_1 \leq \alpha$  and  $v^1$  and  $v^2$  differ by at least  $100 \cdot \alpha/n$  on at least  $n/4$  coordinates. Then  $\tilde{v}^1$  and  $\tilde{v}^2$  differ on  $\Omega(n)$  coordinates.

# Plan i potrzebne lematy

**Lemat 2(3.3)** *Consider four vectors  $v^1, \tilde{v}^1, v^2, \tilde{v}^2 \in \mathbb{R}^n$ , such that  $\|v^1 - \tilde{v}^1\|_1 \leq \alpha$ ,  $\|v^2 - \tilde{v}^2\|_1 \leq \alpha$  and  $v^1$  and  $v^2$  differ by at least  $100 \cdot \alpha/n$  on at least  $n/4$  coordinates. Then  $\tilde{v}^1$  and  $\tilde{v}^2$  differ on  $\Omega(n)$  coordinates.*

Dowód nie wprost. Zakładamy, że  $\tilde{v}^1$  i  $\tilde{v}^2$  różnią się na najwyżej  $n/1000$  miejscach (promil).

# Plan i potrzebne lematy

**Lemat 2(3.3)** Consider four vectors  $v^1, \tilde{v}^1, v^2, \tilde{v}^2 \in \mathbb{R}^n$ , such that  $\|v^1 - \tilde{v}^1\|_1 \leq \alpha$ ,  $\|v^2 - \tilde{v}^2\|_1 \leq \alpha$  and  $v^1$  and  $v^2$  differ by at least  $100 \cdot \alpha/n$  on at least  $n/4$  coordinates. Then  $\tilde{v}^1$  and  $\tilde{v}^2$  differ on  $\Omega(n)$  coordinates.

Dowód nie wprost. Zakładamy, że  $\tilde{v}^1$  i  $\tilde{v}^2$  różnią się na najwyżej  $n/1000$  miejscach (promil).

Stworzymy zbiór I z takich współrzędnych, które spełnią wszystkie warunki:

- 1)  $\tilde{v}^1$  i  $\tilde{v}^2$  są takie same (przynajmniej  $0.999n$ )
- 2)  $v^1$  i  $v^2$  różne o przynajmniej  $100\alpha/n$  (przynajmniej  $n/4$ )
- 3)  $v^1$  i  $\tilde{v}^1$  różne o najwyżej  $10\alpha/n$  (przynajmniej  $0.9n$ )
- 4)  $v^2$  i  $\tilde{v}^2$  różne o najwyżej  $10\alpha/n$  (przynajmniej  $0.9n$ )

# Plan i potrzebne lematy

**Lemat 2(3.3)** Consider four vectors  $v^1, \tilde{v}^1, v^2, \tilde{v}^2 \in \mathbb{R}^n$ , such that  $\|v^1 - \tilde{v}^1\|_1 \leq \alpha$ ,  $\|v^2 - \tilde{v}^2\|_1 \leq \alpha$  and  $v^1$  and  $v^2$  differ by at least  $100 \cdot \alpha/n$  on at least  $n/4$  coordinates. Then  $\tilde{v}^1$  and  $\tilde{v}^2$  differ on  $\Omega(n)$  coordinates.

Dowód nie wprost. Zakładamy, że  $\tilde{v}^1$  i  $\tilde{v}^2$  różnią się na najwyżej  $n/1000$  miejscach (promil).

Zbiór I jest niepusty.  
Możemy zauważyć, że:

$$|\tilde{v}^1 - \tilde{v}^2| \geq |v^1 - v^2| - |v^1 - \tilde{v}^1| - |v^2 - \tilde{v}^2|$$

Stworzymy zbiór I z takich współrzędnych, które spełnią wszystkie warunki:

- 1)  $\tilde{v}^1$  i  $\tilde{v}^2$  są takie same (przynajmniej  $0.999n$ )
- 2)  $v^1$  i  $v^2$  różne o przynajmniej  $100\alpha/n$  (przynajmniej  $n/4$ )
- 3)  $v^1$  i  $\tilde{v}^1$  różne o najwyżej  $10\alpha/n$  (przynajmniej  $0.9n$ )
- 4)  $v^2$  i  $\tilde{v}^2$  różne o najwyżej  $10\alpha/n$  (przynajmniej  $0.9n$ )

# Plan i potrzebne lematy

**Lemat 2(3.3)** Consider four vectors  $v^1, \tilde{v}^1, v^2, \tilde{v}^2 \in \mathbb{R}^n$ , such that  $\|v^1 - \tilde{v}^1\|_1 \leq \alpha$ ,  $\|v^2 - \tilde{v}^2\|_1 \leq \alpha$  and  $v^1$  and  $v^2$  differ by at least  $100 \cdot \alpha/n$  on at least  $n/4$  coordinates. Then  $\tilde{v}^1$  and  $\tilde{v}^2$  differ on  $\Omega(n)$  coordinates.

Dowód nie wprost. Zakładamy, że  $\tilde{v}^1$  i  $\tilde{v}^2$  różnią się na najwyżej  $n/1000$  miejscach (promil).

Zbiór I jest niepusty.  
Możemy zauważyć, że:

$$\begin{aligned} |\tilde{v}^1 - \tilde{v}^2| &\geq |v^1 - v^2| - |v^1 - \tilde{v}^1| - |v^2 - \tilde{v}^2| \\ &\geq 100\alpha/n - 10\alpha/n - 10\alpha/n \\ &= 80\alpha/n \end{aligned}$$

Stworzymy zbiór I z takich współrzędnych, które spełnią wszystkie warunki:

- 1)  $\tilde{v}^1$  i  $\tilde{v}^2$  są takie same (przynajmniej  $0.999n$ )
- 2)  $v^1$  i  $v^2$  różne o przynajmniej  $100\alpha/n$  (przynajmniej  $n/4$ )
- 3)  $v^1$  i  $\tilde{v}^1$  różne o najwyżej  $10\alpha/n$  (przynajmniej  $0.9n$ )
- 4)  $v^2$  i  $\tilde{v}^2$  różne o najwyżej  $10\alpha/n$  (przynajmniej  $0.9n$ )

Dostajemy sprzeczność z 1).  $\square$

Ustalenie wartości  $d$  i  $t$

# Ustalenie wartosci $d$ i $t$

Ustalamy, że:

$$t = 1/2 \cdot \log_p n$$

$$d = \frac{\log(101\alpha)}{2\log(1-\epsilon)} - 2 \geq 1 \qquad d = \Theta(\log(1/\alpha))$$

$\epsilon$  jest ustalone

$$p = 1/\epsilon$$



# Ustalenie wartości $d$ i $t$

$\epsilon$  jest ustalone

$$p = 1/\epsilon$$

Ustalamy, że:

$$t = 1/2 \cdot \log_p n$$

$$d = \frac{\log(101\alpha)}{2\log(1-\epsilon)} - 2 \geq 1 \quad d = \Theta(\log(1/\alpha))$$

Liczba liści podgrafu  $H$ :

$$t^d = (1/2 \cdot \log_{1/\epsilon} n)^d = \left( \frac{\log n}{2\log 1/\epsilon} \right)^{\Theta(\log(1/\alpha))} = \log^{\Theta(\log(1/\alpha))} n = (1/\alpha)^{\Theta(\log \log n)}$$

# Ustalenie wartości $d$ i $t$

$\epsilon$  jest ustalone

$$p = 1/\epsilon$$

Ustalamy, że:

$$t = 1/2 \cdot \log_p n$$

$$d = \frac{\log(101\alpha)}{2\log(1-\epsilon)} - 2 \geq 1 \quad d = \Theta(\log(1/\alpha))$$

Liczba liści podgrafu  $H$ :

$$t^d = (1/2 \cdot \log_{1/\epsilon} n)^d = \left( \frac{\log n}{2 \log 1/\epsilon} \right)^{\Theta(\log(1/\alpha))} = \log^{\Theta(\log(1/\alpha))} n = (1/\alpha)^{\Theta(\log \log n)}$$

$H$  ma  $\Theta(t^d) = o(n)$  wierzchołków

# Ustalenie wartości $d$ i $t$

$\epsilon$  jest ustalone

$$p = 1/\epsilon$$

Ustalamy, że:

$$t = 1/2 \cdot \log_p n$$

$$d = \frac{\log(101\alpha)}{2\log(1-\epsilon)} - 2 \geq 1 \quad d = \Theta(\log(1/\alpha))$$

Liczba liści podgrafu  $H$ :

$$t^d = (1/2 \cdot \log_{1/\epsilon} n)^d = \left( \frac{\log n}{2 \log 1/\epsilon} \right)^{\Theta(\log(1/\alpha))} = \log^{\Theta(\log(1/\alpha))} n = (1/\alpha)^{\Theta(\log \log n)}$$

$H$  ma  $\Theta(t^d) = o(n)$  wierzchołków

Liczba dzieci wierzchołka  $H$

$$\Theta(p^t) = \Theta(p^{1/2 \cdot \log_p n}) = \Theta(n^{1/2})$$

# Ustalenie wartosci $d$ i $t$

$\epsilon$  jest ustalone

$$p = 1/\epsilon$$

Ustalamy, że:

$$t = 1/2 \cdot \log_p n$$

$$d = \frac{\log(101\alpha)}{2\log(1-\epsilon)} - 2 \geq 1 \quad d = \Theta(\log(1/\alpha))$$

Liczba liści podgrafu  $H$ :

$$t^d = (1/2 \cdot \log_{1/\epsilon} n)^d = \left( \frac{\log n}{2 \log 1/\epsilon} \right)^{\Theta(\log(1/\alpha))} = \log^{\Theta(\log(1/\alpha))} n = (1/\alpha)^{\Theta(\log \log n)}$$

$H$  ma  $\Theta(t^d) = o(n)$  wierzchołków

Liczba dzieci wierzchołka  $H$

$$\Theta(p^t) = \Theta(p^{1/2 \cdot \log_p n}) = \Theta(n^{1/2})$$

Graf  $G$  ma  $n$  wierzchołków  
i  $O(n)$  krawędzi

Liczba krawędzi  $H$

$$(1/\alpha)^{\Theta(\log \log n)} \cdot n^{1/2} = n^{o(1)} \cdot \Theta(n^{1/2}) = O(n)$$

Końcówka dowodu Tw1

# Końcówka dowodu Tw1

Ustalmy, że właśnie  $l_j$  został osiągnięty.  $\pi^b$  będzie wartością sprzed chwili, a  $\pi^a$  po osiągnięciu  $l_j$ .

# Końcówka dowodu Tw1

Ustalmy, że właśnie  $l_j$  został osiągnięty.  $\pi^b$  będzie wartością sprzed chwili, a  $\pi^a$  po osiągnięciu  $l_j$ .

Masa prawdopodobieństwa trafia do  $\pi_{l_j}^b$  tylko z grafu  $H$ .

$$\pi_{\ell_j}^b \leq (d+1)/n = \Theta(\log(1/\alpha))/n = o(\log n)/n.$$

# Końcówka dowodu Tw1

Ustalmy, że właśnie  $l_j$  został osiągnięty.  $\pi^b$  będzie wartością sprzed chwili, a  $\pi^a$  po osiągnięciu  $l_j$ .

Masa prawdopodobieństwa trafia do  $\pi_{l_j}^b$  tylko z grafu  $H$ .

$$\pi_{\ell_j}^b \leq (d+1)/n = \Theta(\log(1/\alpha))/n = o(\log n)/n.$$

Z lematu 1(3.2):

$$\pi_{\ell_j}^a \geq \epsilon \cdot (1-\epsilon)^{2d+2}/4 = \epsilon \cdot (1-\epsilon)^{\frac{\log(101\alpha)}{\log(1-\epsilon)}-2}/4 = 101 \cdot \epsilon \cdot \alpha \cdot (1-\epsilon)^{-2}$$

$$\pi_{\ell_j}^a - \pi_{\ell_j}^b \geq 100 \cdot \epsilon \cdot \alpha (1-\epsilon)^{-2}$$



# Końcówka dowodu Tw1

Ustalmy, że właśnie  $l_j$  został osiągnięty.  $\pi^b$  będzie wartością sprzed chwili, a  $\pi^a$  po osiągnięciu  $l_j$ .

Masa prawdopodobieństwa trafia do  $\pi_{l_j}^b$  tylko z grafu  $H$ .

$$\pi_{l_j}^b \leq (d+1)/n = \Theta(\log(1/\alpha))/n = o(\log n)/n.$$

Z lematu 1(3.2):

$$\pi_{l_j}^a \geq \epsilon \cdot (1-\epsilon)^{2d+2}/4 = \epsilon \cdot (1-\epsilon)^{\frac{\log(101\alpha)}{\log(1-\epsilon)}-2}/4 = 101 \cdot \epsilon \cdot \alpha \cdot (1-\epsilon)^{-2}$$

$$\pi_{l_j}^a - \pi_{l_j}^b \geq 100 \cdot \epsilon \cdot \alpha (1-\epsilon)^{-2}$$

Zatem każdy z liści jednej z gwiazd otrzyma przynajmniej tyle nowej masy prawdopodobieństwa:

$$s = |S| = n/4$$

$$100 \cdot \alpha \cdot (1-\epsilon)^{-2}/4 \cdot (1-\epsilon)^2/s = 100 \cdot \alpha/(4s) = 100 \cdot \alpha/n$$

# Końcówka dowodu Tw1

Ustalmy, że właśnie  $l_j$  został osiągnięty.  $\pi^b$  będzie wartością sprzed chwili, a  $\pi^a$  po osiągnięciu  $l_j$ .

Masa prawdopodobieństwa trafia do  $\pi_{l_j}^b$  tylko z grafu  $H$ .

$$\pi_{l_j}^b \leq (d+1)/n = \Theta(\log(1/\alpha))/n = o(\log n)/n.$$

**Z lematu 1(3.2):**

$$\pi_{l_j}^a \geq \epsilon \cdot (1-\epsilon)^{2d+2}/4 = \epsilon \cdot (1-\epsilon)^{\frac{\log(101\alpha)}{\log(1-\epsilon)}-2}/4 = 101 \cdot \epsilon \cdot \alpha \cdot (1-\epsilon)^{-2}$$

$$\pi_{l_j}^a - \pi_{l_j}^b \geq 100 \cdot \epsilon \cdot \alpha (1-\epsilon)^{-2}$$

Zatem każdy z liści jednej z gwiazd otrzyma przynajmniej tyle nowej masy prawdopodobieństwa:

$$s = |S| = n/4$$

$$100 \cdot \alpha \cdot (1-\epsilon)^{-2}/4 \cdot (1-\epsilon)^2/s = 100 \cdot \alpha/(4s) = 100 \cdot \alpha/n$$

Na podstawie lematu 2(3.3) wiemy, że wektor PageRank będzie musiał być updateowany na  $\Omega(n)$  żeby zachować  $\alpha$  addytywną aproksymację.

# Końcówka dowodu Tw1

Liczba liści  $H$  to  $(1/\alpha)^{\Theta(\log \log n)}$

# Końcówka dowodu Tw1

Liczba liści  $H$  to  $(1/\alpha)^{\Theta(\log \log n)}$

Po osiągnięciu każdego z nich należy zupdateować  $\Omega(n)$  wierzchołków, co prowadzi nas do tezy.

**Theorem 1.1.** *Fix  $\epsilon \in (0.01, 0.99)$ . For any sufficiently large  $n \geq 1$  and any  $\alpha$  such that  $1/\alpha = n^{o(1/\log \log n)}$ , any algorithm which explicitly maintains  $\alpha$ -additive approximation of PageRank must run in  $n \cdot (1/\alpha)^{\Omega(\log \log n)}$  total time.*

# Twierdzenie 3

**Theorem 1.3.** *There exists a sequence of  $\Theta(n)$  edge insertions applied to an initially empty graph on  $n$  vertices for which the following holds. For any constant  $\delta > 0$ , any algorithm that maintains a vector  $\tilde{\pi} \in \mathbb{R}^n$  such that  $(1/2)\pi_v < \tilde{\pi}_v \leq 2\pi_v$  at all time steps, must take time  $\Omega(n^{2-\delta})$  to process the sequence. In particular, the amortized update time of any such algorithm is  $\Omega(n^{1-\delta})$ .*

# Twierdzenie 3

**Theorem 1.3.** *There exists a sequence of  $\Theta(n)$  edge insertions applied to an initially empty graph on  $n$  vertices for which the following holds. For any constant  $\delta > 0$ , any algorithm that maintains a vector  $\tilde{\pi} \in \mathbb{R}^n$  such that  $(1/2)\pi_v < \tilde{\pi}_v \leq 2\pi_v$  at all time steps, must take time  $\Omega(n^{2-\delta})$  to process the sequence. In particular, the amortized update time of any such algorithm is  $\Omega(n^{1-\delta})$ .*

Dla tej samej konstrukcji ustalamy odpowiednie parametry:

$$t = \delta/2 \log n / \log \log n$$

$$d = \log_t(n^{1-2\delta}) = \Theta(\log n / \log \log n)$$

# Twierdzenie 3

**Theorem 1.3.** *There exists a sequence of  $\Theta(n)$  edge insertions applied to an initially empty graph on  $n$  vertices for which the following holds. For any constant  $\delta > 0$ , any algorithm that maintains a vector  $\tilde{\pi} \in \mathbb{R}^n$  such that  $(1/2)\pi_v < \tilde{\pi}_v \leq 2\pi_v$  at all time steps, must take time  $\Omega(n^{2-\delta})$  to process the sequence. In particular, the amortized update time of any such algorithm is  $\Omega(n^{1-\delta})$ .*

Dla tej samej konstrukcji ustalamy odpowiednie parametry:

$$t = \delta/2 \log n / \log \log n$$

$$d = \log_t(n^{1-2\delta}) = \Theta(\log n / \log \log n)$$

Liczba krawędzi z  $i$ -tego dziecka  $(\log^2 n)^i \quad (p = \log^2 n)$

# Twierdzenie 3

**Theorem 1.3.** *There exists a sequence of  $\Theta(n)$  edge insertions applied to an initially empty graph on  $n$  vertices for which the following holds. For any constant  $\delta > 0$ , any algorithm that maintains a vector  $\tilde{\pi} \in \mathbb{R}^n$  such that  $(1/2)\pi_v < \tilde{\pi}_v \leq 2\pi_v$  at all time steps, must take time  $\Omega(n^{2-\delta})$  to process the sequence. In particular, the amortized update time of any such algorithm is  $\Omega(n^{1-\delta})$ .*

Dla tej samej konstrukcji ustalamy odpowiednie parametry:

$$t = \delta/2 \log n / \log \log n$$

$$d = \log_t(n^{1-2\delta}) = \Theta(\log n / \log \log n)$$

Liczba krawędzi z  $i$ -tego dziecka  $(\log^2 n)^i$  ( $p = \log^2 n$ )

Podgraf  $H$  otrzyma  $n^{1-2\delta}$  wierzchołków

Z lematu 1(3.2) wynika, że w liściu jest następująca część masy z  $R$

$$(1 - 1/p)^d = (1 - 1/\log^2 n)^{\Theta(\log n / \log \log n)} \geq 1 - 1/\log n.$$



# Twierdzenie 3

**Theorem 1.3.** *There exists a sequence of  $\Theta(n)$  edge insertions applied to an initially empty graph on  $n$  vertices for which the following holds. For any constant  $\delta > 0$ , any algorithm that maintains a vector  $\tilde{\pi} \in \mathbb{R}^n$  such that  $(1/2)\pi_v < \tilde{\pi}_v \leq 2\pi_v$  at all time steps, must take time  $\Omega(n^{2-\delta})$  to process the sequence. In particular, the amortized update time of any such algorithm is  $\Omega(n^{1-\delta})$ .*

Dla tej samej konstrukcji ustalamy odpowiednie parametry:

$$t = \delta/2 \log n / \log \log n$$

$$d = \log_t(n^{1-2\delta}) = \Theta(\log n / \log \log n)$$

Liczba krawędzi z  $i$ -tego dziecka  $(\log^2 n)^i \quad (p = \log^2 n)$

Podgraf  $H$  otrzyma  $n^{1-2\delta}$  wierzchołków

Z lematu 1(3.2) wynika, że w liściu jest następująca część masy z  $R$

$$(1 - 1/p)^d = (1 - 1/\log^2 n)^{\Theta(\log n / \log \log n)} \geq 1 - 1/\log n.$$

Stosunek mas w obu gwiazdach wyniesie

$$\frac{1 - 1/\log n}{1/\log n} = \Theta(\log n)$$

# Twierdzenie 3

**Theorem 1.3.** *There exists a sequence of  $\Theta(n)$  edge insertions applied to an initially empty graph on  $n$  vertices for which the following holds. For any constant  $\delta > 0$ , any algorithm that maintains a vector  $\tilde{\pi} \in \mathbb{R}^n$  such that  $(1/2)\pi_v < \tilde{\pi}_v \leq 2\pi_v$  at all time steps, must take time  $\Omega(n^{2-\delta})$  to process the sequence. In particular, the amortized update time of any such algorithm is  $\Omega(n^{1-\delta})$ .*

Dla tej samej konstrukcji ustalamy odpowiednie parametry:

$$t = \delta/2 \log n / \log \log n$$

$$d = \log_t(n^{1-2\delta}) = \Theta(\log n / \log \log n)$$

Liczba liści gwiazd:

$$n^{1-2\delta}$$

Liczba krawędzi z  $i$ -tego dziecka  $(\log^2 n)^i \quad (p = \log^2 n)$

Podgraf  $H$  otrzyma  $n^{1-2\delta}$  wierzchołków

Z lematu 1(3.2) wynika, że w liściu jest następująca część masy z  $R$

$$(1 - 1/p)^d = (1 - 1/\log^2 n)^{\Theta(\log n / \log \log n)} \geq 1 - 1/\log n.$$

Stosunek mas w obu gwiazdach wyniesie

$$\frac{1 - 1/\log n}{1/\log n} = \Theta(\log n)$$

# Twierdzenie 3

**Theorem 1.3.** *There exists a sequence of  $\Theta(n)$  edge insertions applied to an initially empty graph on  $n$  vertices for which the following holds. For any constant  $\delta > 0$ , any algorithm that maintains a vector  $\tilde{\pi} \in \mathbb{R}^n$  such that  $(1/2)\pi_v < \tilde{\pi}_v \leq 2\pi_v$  at all time steps, must take time  $\Omega(n^{2-\delta})$  to process the sequence. In particular, the amortized update time of any such algorithm is  $\Omega(n^{1-\delta})$ .*

Dla tej samej konstrukcji ustalamy odpowiednie parametry:

$$t = \delta/2 \log n / \log \log n$$

$$d = \log_t(n^{1-2\delta}) = \Theta(\log n / \log \log n)$$

Liczba krawędzi z  $i$ -tego dziecka  $(\log^2 n)^i \quad (p = \log^2 n)$

Podgraf  $H$  otrzyma  $n^{1-2\delta}$  wierzchołków

Z lematu 1(3.2) wynika, że w liściu jest następująca część masy z  $R$

$$(1 - 1/p)^d = (1 - 1/\log^2 n)^{\Theta(\log n / \log \log n)} \geq 1 - 1/\log n.$$

Stosunek mas w obu gwiazdach wyniesie

$$\frac{1 - 1/\log n}{1/\log n} = \Theta(\log n)$$

Liczba liści gwiazd:

$$n^{1-2\delta}$$

Zatem przy każdym z  $\Omega(n^{1-\delta})$  podłączeń liści, potrzeba updateować  $\Omega(n^{1-2\delta})$  wierzchołków z jednej z gwiazd.

Koszt ciągu operacji będzie rzędu  $\Omega(n^{2-3\delta})$

□

# Algorytm dynamiczny

- 1:  $W \leftarrow \emptyset$
- 2: Let  $\ell$  be the length of longest generated walk.
- 3: **for**  $t = 1 \dots \ell$  **do**
- 4:   Sample each walk from  $S_{u,t}$  with probability  $1/d_u$  in the following way. First, select an integer  $r_{u,t}$  from the binomial distribution with parameters  $|S_{u,t}|$  and  $1/d_u$ . Second, select  $r_{u,t}$  integers uniformly at random and without repetition from  $[1, |S_{u,t}|]$ . Then, for each of those integers  $i$  select the  $i$ -th walk from  $S_{u,t}$ . If  $e$  is an undirected edge, apply the same steps for  $S_{v,t}$ .
- 5:   For each walk  $w$  selected in the last step such that  $w \notin W$ , add  $w$  to  $W$  and label  $w$  by  $t$ .
- 6: **end for**
- 7: **for** each  $w \in W$  **do**
- 8:   Let  $j$  be the label remembered for  $w$  on Line 5.
- 9:   Generate walk  $w'$  with the following properties:
  - The walks  $w$  and  $w'$  have the same length.
  - The vertex-prefixes of length  $j$  of  $w$  and  $w'$  are the same.
  - After that prefix, if  $w$  has more than  $j$  vertices,  $w'$  walks along  $e$ .
  - The remaining edges of  $w'$  are chosen randomly, i.e., the rest of  $w'$  is a newly generated random walk.
- 10:   Update the data structures by removing  $w$  and inserting  $w'$ .
- 11: **end for**

# Algorytm dynamiczny

$W$  - zbiór ścieżek, które poprawimy

$S_{u,t}$  - drzewo binarne z krawędziami, których  $t$ -ty wierzchołek to  $u$ .

- 1:  $W \leftarrow \emptyset$
- 2: Let  $\ell$  be the length of longest generated walk.
- 3: **for**  $t = 1 \dots \ell$  **do**
- 4:   Sample each walk from  $S_{u,t}$  with probability  $1/d_u$  in the following way. First, select an integer  $r_{u,t}$  from the binomial distribution with parameters  $|S_{u,t}|$  and  $1/d_u$ . Second, select  $r_{u,t}$  integers uniformly at random and without repetition from  $[1, |S_{u,t}|]$ . Then, for each of those integers  $i$  select the  $i$ -th walk from  $S_{u,t}$ . If  $e$  is an undirected edge, apply the same steps for  $S_{v,t}$ .
- 5:   For each walk  $w$  selected in the last step such that  $w \notin W$ , add  $w$  to  $W$  and label  $w$  by  $t$ .
- 6: **end for**
- 7: **for** each  $w \in W$  **do**
- 8:   Let  $j$  be the label remembered for  $w$  on Line 5.
- 9:   Generate walk  $w'$  with the following properties:
  - The walks  $w$  and  $w'$  have the same length.
  - The vertex-prefixes of length  $j$  of  $w$  and  $w'$  are the same.
  - After that prefix, if  $w$  has more than  $j$  vertices,  $w'$  walks along  $e$ .
  - The remaining edges of  $w'$  are chosen randomly, i.e., the rest of  $w'$  is a newly generated random walk.
- 10:   Update the data structures by removing  $w$  and inserting  $w'$ .
- 11: **end for**

## Wstawienie krawędzi $(u, v)$

- rejection sampling
- ponowne generowanie odrzuconych spacerów

# Algorytm dynamiczny

- 1: Let  $W_e \subseteq W$  be the list of walks passing through  $e$ .
- 2: **for**  $w \in W_e$  **do**
- 3:   Let  $w_p$  be the longest prefix of  $w$  not containing  $e$ .
- 4:   Let  $w'$  be a walk of length  $|w|$  such that  $w'$  has  $w_p$  as its prefix, and the remainder of  $w'$  is a random walk.
- 5:   To update  $W$ , remove  $w$  from  $W$  and the corresponding data structures, and insert  $w'$ .
- 6: **end for**

Dla każdej ścieżki z  $W_{(u,v)}$  generujemy  $w'$  tak aby:

- miały ten sam prefiks do wieżchołka  $u$
- dalsza część  $w'$  była spacerem losowym

## Twierdzenie 2

**Theorem 1.2.** *For any  $\epsilon \in (0,1)$ , there is an algorithm that with high probability explicitly maintains an  $\alpha$  additive approximation of PageRank of any graph  $G$  in either incremental or decremental setting. The algorithm processes the entire sequence of updates in  $O(m) + n \cdot (1/\alpha)^{O_\epsilon(\log \log n)}$  total time and works correctly against an oblivious adversary.*

# Twierdzenie 2

**Theorem 1.2.** *For any  $\epsilon \in (0,1)$ , there is an algorithm that with high probability explicitly maintains an  $\alpha$  additive approximation of PageRank of any graph  $G$  in either incremental or decremental setting. The algorithm processes the entire sequence of updates in  $O(m) + n \cdot (1/\alpha)^{O_\epsilon(\log \log n)}$  total time and works correctly against an oblivious adversary.*

Najpierw pokazane jest, że ograniczając maksymalną długość spacerów  $l$  otrzymujemy  $\alpha$  addytywną aproksymację.

**Lemma 5.1.** *Let  $\pi$  be the PageRank of a directed graph  $G$ . Then, with high probability, Algorithm 1 for  $\ell = \lceil 2/\epsilon \cdot \log(2/(\alpha\epsilon)) \rceil$  outputs a vector  $\pi_{\text{ADD}}$  such that  $\|\pi - \pi_{\text{ADD}}\|_1 \leq 5 \frac{\alpha}{1-\epsilon}$ .*



# Twierdzenie 2

**Theorem 1.2.** *For any  $\epsilon \in (0,1)$ , there is an algorithm that with high probability explicitly maintains an  $\alpha$  additive approximation of PageRank of any graph  $G$  in either incremental or decremental setting. The algorithm processes the entire sequence of updates in  $O(m) + n \cdot (1/\alpha)^{O_\epsilon(\log \log n)}$  total time and works correctly against an oblivious adversary.*

Najpierw pokazane jest, że ograniczając maksymalną długość spacerów  $l$  otrzymujemy  $\alpha$  addytywną aproksymację.

**Lemma 5.1.** *Let  $\pi$  be the PageRank of a directed graph  $G$ . Then, with high probability, Algorithm 1 for  $\ell = \lceil 2/\epsilon \cdot \log(2/(\alpha\epsilon)) \rceil$  outputs a vector  $\pi_{\text{ADD}}$  such that  $\|\pi - \pi_{\text{ADD}}\|_1 \leq 5 \frac{\alpha}{1-\epsilon}$ .*

Kolejny lemat bazuje na obserwacji jak dużo razy możemy wpłynąć na daną krawędź, której wierzchołek bierze udział w dokładaniu kolejnych krawędzi do grafu

**Lemma 5.2.** *Let  $G$  be a directed graph undergoing edge insertions (or deletions). The total number of times a random walk of length  $\ell$  is being regenerated is bounded by  $O(\log^\ell n)$  in expectation.*

# Twierdzenie 4

## Twierdzenie 1.4

Dla dowolnego  $\epsilon \in (0, 1)$  istnieje algorytm, który z dużym prawdopodobieństwem jawnie utrzymuje  $(1 + \alpha)$ -multiplikatywne przybliżenie PageRanku dowolnego nieskierowanego grafu  $G$  w w pełni dynamicznym ustawieniu.

Algorytm przetwarza każdą aktualizację w czasie  $O\left(\frac{\log^5 n}{\epsilon^2 \alpha^2}\right)$  i działa poprawnie przeciwko przeciwnikowi nieświadomemu.

Dziękujemy